

雷射二極體模組特性量測系統設計

吳韋潤

台中市西屯區文華路
100 號（逢甲大學自動
控制所）
ufpal109@ms6.hinet.net

林宸生

台中市西屯區文華路
100 號（逢甲大學自動
控制所）
cslin@auto.fcu.edu.tw

林欽裕

台中市西屯區文華路
100 號（逢甲大學自動
控制所）
albert@fcu.edu.tw

摘要

本文描述一應用於雷射二極體模組特性的自動量測系統，整體架構具分割化顯示及雷射二極體模組特性量測，系統的功能包括了雷射二極體光束的亮度分佈曲線、平面亮度分佈圖、「一半最大能量值之全寬」FWHM、擴束角及穩定度分析等特性的量測。在文末並附上實驗的結果。

長之剖線端點作連線，由此求出其發光角度[1]。

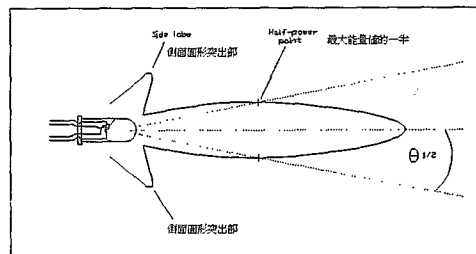


圖 1 發光二極體的發光角度

關鍵詞：CCD、雷射二極體模組、雷射二極體、擴束角、FWHM

1. 簡介

近二十年來，半導體雷射（或稱雷射二極體）技術得以迅速的發展，由於雷射光束具有高度準直性、方向性之特點，因此在許多方面獲得了廣泛的應用，半導體雷射其體積小、操作容易、效率高、穩定度大以及能受調變之頻率快，優點甚多，在國防建設，工商業生產及科學實驗等各方面都有極為廣泛的應用，如雷射列表機、製版、讀碼、微像產生、品質控制和機器人視覺等。雷射二極體的應用正在日益擴大之中，由於雷射二極體都是成批生產，品質的要求顯得非常重要。在產品規格方面，半導體雷射通常援用發光二極體的光場定義，有所謂「一半最大能量值之全寬」Full Width at Half Maximum (FWHM)來定義半導體雷射之光束直徑。首先讓我們來看看發光二極體：發光二極體的鏡片兩側鏡壁之反射光，會造成兩側光場形成無效的圓形突出部分。發光二極體的光場如橢圓形狀，其發光角度，如 1 是根據光場中一半最大能量值所有個點形成的封包線，再找出對封包線中最長之剖線，再由中心點對封包線中最

就半導體雷射的響應來說，其輸出光功率常有鬆弛震盪 (relaxation oscillations) 現象，常因此而限制了半導體雷射的調變頻寬。因此雷射光束亮度分佈曲線、擴束角、FWHM、及穩定度等特性，對光電設備的產程來說是很重要的，因此我們便希望利用 CCD(Charge Coupled Device)結合數位影像的技術，將這些特性量測出來。我們使用單一平台組成一量測系統，並撰寫軟體以個人電腦來擷取影像資料，同時加以運算處理求取所需之雷射二極體之特性。由電腦來全程偵測、彙總資料並顯示及列印。

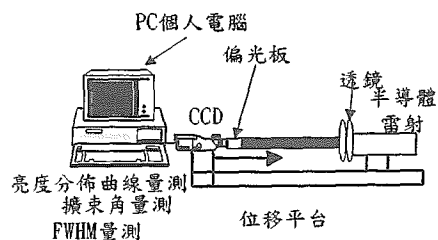


圖 2(a) 雷射二極體模組特性量測系統架構示意圖

2. 系統架構

圖 2(a) 說明了整個特性量測系統的基本架構，由於雷射模組光的輸出功率高，如果直接由 CC 接收光源，則會將 CC 中的晶片燒壞，因此在鏡頭前加入一偏光板以降低光源輸出功率，整個量測系統主要可分為五部份，第一部份為亮度曲線分佈量測，第二部份為 FWHM，第三部份為擴束角，第四部份為平面亮度分佈圖之量測及第五部份為穩定度分析，整個量測系統開發的主要的部份，為雷射二極體光束特性量測以下將一一介紹。

雷射光束特性量測

在雷射光束特性量測上，將所要量測特性分兩部份(圖 2(b))進行量測。首先，量測的部份皆透過 CC 取像，隨後將光束與背景分離然後再進行特性的量測。

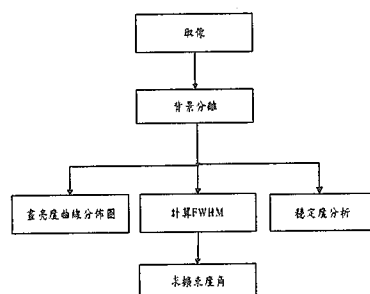


圖 2(b) 雷射光束特性量測的流程圖

雷射二極體模組之擴束角

(1) 特性介紹

目前仍被雷射二極體廣泛採用的 Fabr -perot 其構造如圖 3，一個具有主動層 l 和 w 的雷射二極體(左圖)，兩個上下平行面與 PN 接面垂直方向切開後磨光，前面及後面則保持粗糙，左右面則有金屬的歐姆接觸以便加壓注入電流，磨光表面有鏡子作用以形成回饋光增益，粗糙的兩面無法射出光線，如果雷射光只要單方向發光，則在處理反射面時，適當調整反射面的反射係數，只使一面較容易被光透過即可，其垂直接面(junction)的擴束角 $\approx \lambda_0 / l$ (radians)，而平行接面的擴束角 $\approx \lambda_0 / w$ (radians)，其中 λ_0 為近光束中心的波長[2]。

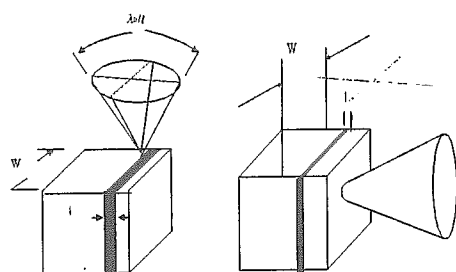


圖 3 雷射二極體的擴束角

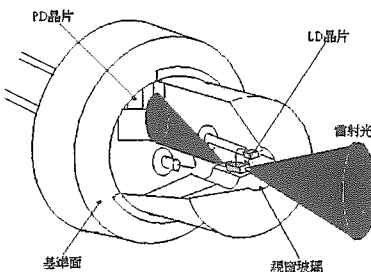


圖 4 雷射二極體構造

(2) 特性量測及誤差分析和降低

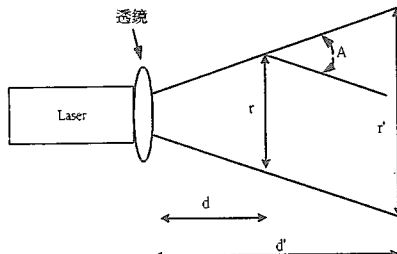


圖 5(a) 雷射二極體模組擴束角量測圖

圖 5(a)為雷射二極體模組光束的擴束角量測方式，其量測分為兩個階段，首先將雷射二極體模組移動一較短的距離 d ，再量取此距離的光束直徑 r ，接著再移動一較長的距離 d' ，再量取此距離的光束直徑 r' ，此時所量取的擴束角如下：

$$\angle A = \frac{r' - r}{d' - d}$$

由於雷射二極體模組的光束是透過透鏡，使光束之平行

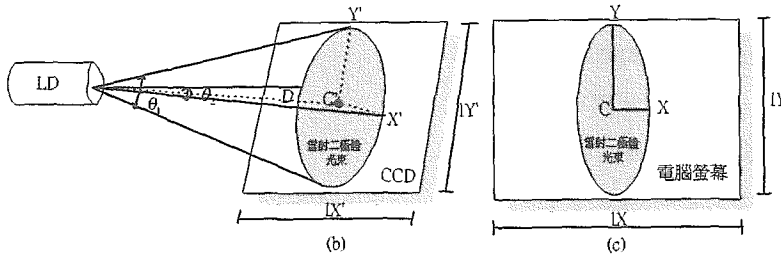


圖5 雷射二極體擴束角量測示意圖

性較佳，因此，對於雷射二極體光束之擴束角量測方式，不同於雷射二極體模組的光束量測，圖5(b)為雷射二極體光束投射在CC鏡片上的情形，而 θ_1 、 θ_2 表示所要量測的兩個擴束角，而圖5(c)為在電腦螢幕上所看到的雷射光束影像，接下來所要做的，便是如何利用電腦螢幕上的影像(圖5(c))求出實際的擴束角(圖5(b))。首先需要找出在螢幕上的半導體雷射光束的中心，因為雷射光束成對稱形狀，因此我們求該影像的重心，此重心應該是影像的中心，記錄該點座標為C，接下來往上掃描讀取灰度值，並利用讀取到的灰度值判斷掃描到的區域是否是背景，如果是背景的話，記錄該點在電腦螢幕上的座標為Y，同理往右掃描直至背景，記錄該點在螢幕座標為X。

有了CX和CY的距離後，利用這兩個數值求得雷射二極體模組光束在CC鏡片上的影像中之距離C'Y'和C'X'。CX和C'X'之間的關係為

$$\frac{CX}{lX} = \frac{C'X'}{lX'} \quad (1)$$

$$C'X' = \frac{lX'}{lX} CX$$

其中lX為螢幕橫軸掃描點總點數，lX'為CC鏡片的水平長度。

同理

$$CY' = \frac{lY'}{lY} CY \quad (2)$$

其中lY為螢幕縱軸總點數，lY'為CC鏡片的垂直長度。而雷射半導體和CC鏡片間的距離D可以事先求得，所以擴束角

$$\angle A = 2 \tan^{-1} \frac{C'Y'}{D} \quad (3)$$

$$\angle B = 2 \tan^{-1} \frac{C'X'}{D} \quad (4)$$

在這三項特性的量測中，擴束角的量測結果是較需要來加以探討的。因為要精確取得雷射二極體模組至CC鏡片的距離D是有其困難的地方，所以在此我們要對量測距離D的誤差，對擴束角產生的誤差做一探討。 \tan^{-1} 的馬克勞林(Maclaurin)展開式為

$$\tan^{-1} x = x - \frac{x^3}{3!} + \frac{x^5}{5!} - \frac{x^7}{7!} + \dots + (-1)^n \frac{x^{2n+1}}{(2n+1)!} + \dots$$

$$x \in [-1, 1] \quad (5)$$

一般說來，雷射二極體模組的兩個擴束角約為30度及5度。由(3)、(4)式中得到

$$\frac{C'Y'}{D} = \tan 15 = 0.268$$

$$\frac{C'X'}{D} = \tan 2.5 = 0.0437$$

故在式(5)中x項的值很小，因此在這裡我們可以用 $\tan^{-1} x \approx x$ 假設。令D為量測距離，而D'為實際距離，中心點至光束邊緣距離為l則此時量測到的擴束角

$$\angle A' = 2 \tan^{-1} \frac{l}{D} \approx 2 \frac{l}{D}$$

正確的擴束角

$$\angle A = 2 \tan^{-1} \frac{l}{D'} \approx 2 \frac{l}{D'}$$

為使誤差減少到最小，將上式對 A' 及 B' 做偏微分等於零
得

所以誤差百分率為

$$\frac{\partial E}{\partial A'} = 0 \quad (7)$$

$$|\frac{\angle A' - \angle A}{\angle A}| = |\frac{(D' - D)}{D}| = |(D'/D) - 1|$$

$$\Rightarrow \sum_{i=1}^n A'(x_i - C_x)^4 + \sum_{i=1}^n B(y_i - C_y)^2(x_i - C_x)^2 = \sum_{i=1}^n (x_i - C_x)^2$$

光束中心點位置的取樣，也是影響擴束角量測的重要因素，為了減少誤差的產生，我們必須找出光束最適當的中心位置，再以此中心位置量取水平(長軸)及垂直(短軸)擴束角，對於找出最適當的光束中心位置，我們利用最小平方誤差法求出如下：

$$\frac{\partial E}{\partial B'} = 0 \quad (8)$$

$$\Rightarrow \sum_{i=1}^n A'(x_i - C_x)^2(y_i - C_y)^2 + \sum_{i=1}^n B(y_i - C_y)^4 = \sum_{i=1}^n (y_i - C_y)^2$$

將(7)(8)兩式化為矩陣型式

$$E(a_0, a_1) = \sum_{i=1}^n [y_i - g(x_i)]^2$$

$$\begin{bmatrix} \sum_{i=1}^n (x_i - C_x)^4 & \sum_{i=1}^n (y_i - C_y)^2(x_i - C_x)^2 \\ \sum_{i=1}^n (x_i - C_x)^2(y_i - C_y)^2 & \sum_{i=1}^n (y_i - C_y)^4 \end{bmatrix} \begin{bmatrix} A' \\ B' \end{bmatrix} = \begin{bmatrix} \sum_{i=1}^n (x_i - C_x)^2 \\ \sum_{i=1}^n (y_i - C_y)^2 \end{bmatrix}$$

所以

其中 $g(x_i)$ ：配合實驗數據的擬用函數

y_i ：實際函數

首先，利用橢圓方程式：

$$\frac{(x - C_x)^2}{a^2} + \frac{(y - C_y)^2}{b^2} = 1$$

$$\Rightarrow \frac{(x - C_x)^2}{a^2} + \frac{(y - C_y)^2}{b^2} - 1 = 0$$

$$\begin{bmatrix} A' \\ B' \end{bmatrix} = \begin{bmatrix} \sum_{i=1}^n (x_i - C_x)^4 & \sum_{i=1}^n (y_i - C_y)^2(x_i - C_x)^2 \\ \sum_{i=1}^n (x_i - C_x)^2(y_i - C_y)^2 & \sum_{i=1}^n (y_i - C_y)^4 \end{bmatrix} \begin{bmatrix} \sum_{i=1}^n (x_i - C_x)^2 \\ \sum_{i=1}^n (y_i - C_y)^2 \end{bmatrix}$$

$$\text{長軸} = \sqrt{\frac{1}{A'}} \quad \text{短軸} = \sqrt{\frac{1}{B'}} \quad (9)$$

將上式修改為

將(6)式展開：

$$A'(x - C_x)^2 + B'(y - C_y)^2 - 1 = 0 \quad (6)$$

$$Ax^2 - 2AC_x x + AC_x^2 + By^2 - 2BC_y y + BC_y^2 - 1 = 0 \quad (10)$$

其中 $A' = 1/a^2$, $B' = 1/b^2$

當邊緣點座標 x , y 帶入(6)式使之等號成立，則表示此點在橢圓方程式上，因此將(6)式當成誤差方程式，所以總誤差量

利用橢圓方程式另一形式

$$Ax^2 + By^2 + Cx + Dy + 1 = 0 \quad (11)$$

$$|E| = \sum_{i=1}^n \{A'(x_i - C_x)^2 + B'(y_i - C_y)^2 - 1\}^2$$

令上式為誤差方程式

$$|E| = \sum_{i=1}^n \{Ax_i^2 + By_i^2 + Cx_i + Dy_i + 1\}^2$$

Full Width at Half Maximum (FWHM) 之量測

上式對 A、B、C、D 做偏微分等於零得

$$\frac{\partial E}{\partial A} = 0$$

$$\Rightarrow (\sum_{i=1}^n x_i^4)A + (\sum_{i=1}^n x_i^2 y_i^2)B + (\sum_{i=1}^n x_i^3)C + (\sum_{i=1}^n x_i^2 y_i)D = -\sum_{i=1}^n (x_i^2)$$

$$\frac{\partial E}{\partial B} = 0$$

$$\Rightarrow (\sum_{i=1}^n x_i^2 y_i^2)A + (\sum_{i=1}^n y_i^4)B + (\sum_{i=1}^n x_i y_i^2)C + (\sum_{i=1}^n y_i^3)D = -\sum_{i=1}^n (y_i^2)$$

$$\frac{\partial E}{\partial C} = 0$$

$$\Rightarrow (\sum_{i=1}^n x_i^3)A + (\sum_{i=1}^n x_i y_i^2)B + (\sum_{i=1}^n x_i^2)C + (\sum_{i=1}^n x_i y_i)D = -\sum_{i=1}^n (x_i)$$

$$\frac{\partial E}{\partial D} = 0$$

$$\Rightarrow (\sum_{i=1}^n x_i^2 y_i)A + (\sum_{i=1}^n y_i^3)B + (\sum_{i=1}^n x_i y_i)C + (\sum_{i=1}^n y_i^2)D = -\sum_{i=1}^n (y_i)$$

寫成矩陣型式並解出 A、B、C、D 如下：

$$\begin{bmatrix} \sum_{i=1}^n x_i^4 & \sum_{i=1}^n x_i^2 y_i^2 & \sum_{i=1}^n x_i^3 & \sum_{i=1}^n x_i^2 y_i \\ \sum_{i=1}^n x_i^2 y_i^2 & \sum_{i=1}^n y_i^4 & \sum_{i=1}^n x_i y_i^2 & \sum_{i=1}^n y_i^3 \\ \sum_{i=1}^n x_i^3 & \sum_{i=1}^n x_i y_i^2 & \sum_{i=1}^n x_i^2 & \sum_{i=1}^n x_i y_i \\ \sum_{i=1}^n x_i^2 y_i & \sum_{i=1}^n y_i^3 & \sum_{i=1}^n x_i y_i & \sum_{i=1}^n y_i^2 \end{bmatrix}^{-1} \begin{bmatrix} -\sum_{i=1}^n (x_i^2) \\ -\sum_{i=1}^n (y_i^2) \\ -\sum_{i=1}^n (x_i) \\ -\sum_{i=1}^n (y_i) \end{bmatrix}$$

將(10)式與(11)式比較係數得光束中心位置(C_x, C_y)

$$\begin{aligned} A' &= A \\ B' &= B \\ -2A'C_x &= C \\ -2B'C_y &= D \end{aligned} \quad \Rightarrow \quad \begin{aligned} C_x &= -\frac{C}{2A} \\ C_y &= -\frac{D}{2B} \end{aligned} \quad (12)$$

$$A'C_x^2 + B'C_y^2 - 1 = 1$$

因此由(9)式及(12)式即可求出長軸及短軸長度，以及光束中心的位置[3,4,5]。

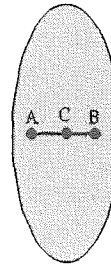


圖 6 FWHM 示意圖

FWHM 是雷射光束中，約二分之一最高亮度處至最高亮度處距離的兩倍，因此要求得 FWHM 必須先找出整個雷射光束中心的位置，亦即光束最亮的位置。掃描整個影像，找出光束中灰階值最亮的點，然後往右掃描影像，直到找到約二分之一亮度處並記錄此處的位置，使用相同的方法往左掃描，並記錄此處的位置，將此兩位置相減，再計算出這個值占螢幕寬度的百分比，然後再乘以 CC 的寬度即為 FWHM，同樣的的方法往上下掃描，亦可找到垂直向的 FWHM。

圖 6 為 FWHM 的示意圖，圖中之 C 點為整個光束中亮度最大的位置，而線段 AB 為 FWHM。

雷射二集體模組光束之 3D 亮度分佈量測

(1) 特性介紹

雷射光場的分佈和雷射二極體的磨光鏡面的形狀以及孔徑有關，通常可將光學諧振腔的形狀分為兩類：一類為圓形鏡面，一類為矩形鏡面，由於光學諧振腔鏡面一般比工作物質孔徑大得多，所以，雷射光束在諧振腔內傳播受到工作物質的孔徑限制，如果工作物質的孔徑是圓形，則鏡面上的光束是圓形對稱的，如果工作物質孔徑是矩形的，鏡面上的光束便是矩形對稱的，對於光束為圓形對稱分佈時，討論光場分佈如下[6]。

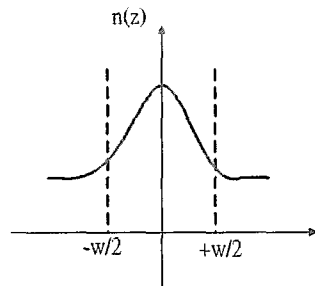
對一個穩態情況，一維連續方程式如下：

$$D_n \frac{d^2 n}{dz^2} + r - \frac{n}{r_n} = 0$$

$$\text{其中 } \frac{d^2 n}{dz^2} = \frac{n}{L_n^2} - \frac{r}{D_n} \quad (13)$$

其中一解為非線性，但在超過發光區域限制內，其 n 的變化是很小($\sim 30\text{--}50\%$)所以 D 可以近似一常數。另一解為(13)式的線性解，其解對 $z=0$ 是呈現對稱的載子擴散：

$$n(z) = \frac{rL_n^2}{D_n} + \left[n(0) - \frac{rL_n^2}{D_n} \right] \cosh\left(\frac{z}{L_n}\right) \quad (14)$$



(2) 特性量測

對於發光外部區域，將(13)式中的 r 項去除，並且使用不同的擴散常數 D_n 和擴散長度 L_n ，因此對於 $|z| > w/2$

$$\frac{d^2n}{dz^2} = \frac{n}{L_n^2} \quad (15)$$

上式的解如下

$$n(z) = n\left(\frac{w}{2}\right) \exp\left(\frac{-z}{L_n}\right) \quad (16)$$

載子濃度 $n(z)$ 和擴散趨勢 (dn/dz 的比例項) 必須在 $z = \pm w/2$ 為連續，將(16)式帶入(14)式可得

$$n(0) = \frac{rL_n^2}{D_n} \left[1 - \frac{1}{\cosh(w/2L_n) + r \sinh(w/2L_n)} \right] \quad (17)$$

$$\text{其中 } r = \frac{D_n L_n}{D'_n L'_n}$$

將(17)帶入(14)可得在發光區域範圍內 ($|z| < w/2$) 輽子的輪廓如下：

$$n(z) = \frac{rL_n^2}{D_n} \left[1 - \frac{\cosh(z/L_n)}{\cosh(w/2L_n) + r \sinh(w/2L_n)} \right] \quad (18)$$

由(18)式可得出如圖 7 的曲線圖，圖 7 顯示正是高斯分佈的情況 [6, 7, 8]。

圖 7 高斯分佈曲線圖

雷射光束經由 CC 接收後，將影像轉換為數位的型式，以點素的方式顯示於電腦螢幕上，而它的亮度也以灰階值表示，亦即以 RGB 的平均來代表此點的亮度值，所以可以藉著讀取灰度值的大小，以得知原本光束亮度的大小值。因此，我們依序掃描在螢幕上影像的各個點素，並記錄該點在螢幕上的座標及灰階值。最後將灰階值對二個座標點繪出即為亮度曲線分佈圖。

雷射二集體模組光束平面亮度分佈

平面亮度分佈圖的用意在於了解雷射光束的分佈情況，以評估雷射光束的優劣性，一般的雷射光束其分佈的情況應較集中，且呈現高斯的分佈，圖 8 顯示一雷射光束的亮度分佈的圖形，圖中顯示出縱軸及橫軸的亮度分佈，呈現高斯分佈的情況。

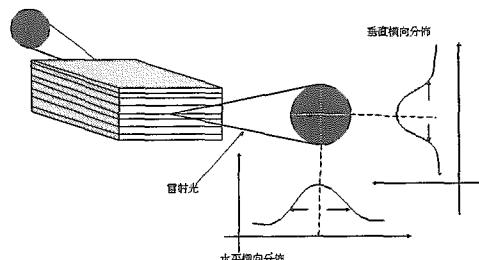


圖 8 雷射光束平面亮度分佈圖

穩定度分析

雷射光束的特性中，穩定性也是一項非常重要的分析，其分析的方式是量測光束強度對時間的變化，理想的光束強度對時間的變化是盡可能的維持一個值為較佳(圖 9)，如果光束強度差異過大或無法達到一個穩定的階段，表示雷射的品質並不是很理想，在應用上較不適用，另外，CC 的品質對穩定度的分析，可能會伴隨著不穩的現象發生，如果 CC 的品質較佳，則在分析上會

較為清晰。

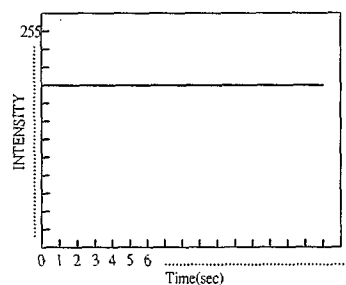


圖 9 理想的穩定性圖

功率量測

光束的功率量測通常都是利用 photometer 求得，但也可以利用影像處理的方式求得，步驟是利用 CC 所取出的光束影像(圖 10)，並掃描影像每一個點素，當掃描到雷射光束時，將其 R、G、B 值平均且記錄下來並與前一筆累計的光束亮度值相加，直到完成整個畫面為止，另外，再利用 photometer 測量雷射光束總功率值(圖 11)，最後將 photometer 所量到的功率值與光束總亮度值相除，即可得知每單位亮度值為多少 mW，因此利用此值可以直接由 CC 量測到光束的功率值，或是最大亮度值的功率。

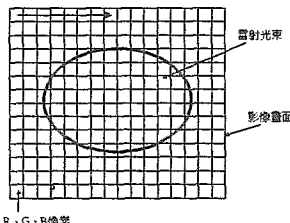


圖 10 CC 取出的光束影像

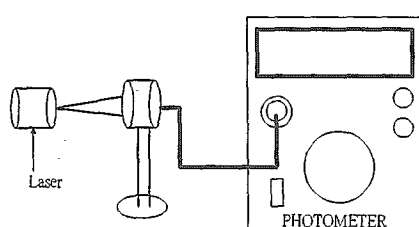


圖 11 photometer 測量雷射光束總功率值

系統軟體規劃

本實驗共分四部份，包括平面亮度量測、3D 亮度曲

線量測，FWHM、擴束角量測及穩定度分析。主畫面為影像的顯示，其包含平面亮度曲線圖，另一個為動態的 3D 亮度及穩定度的顯示畫面，此外，等待 FWHM 及擴束角量測完成後，將其資料顯示於量測結果區。

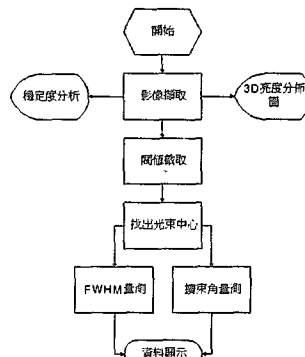


圖 12 軟體規劃流程圖

實驗結果

本實驗共有兩種不同樣式的雷射，將每一種的雷射模組架設於本檢測系統上作分析，而這兩種不同樣式的雷射特性顯示於 Table1，圖 13 至圖 18 為雷射模組 SIL-3000 型號的檢測結果，圖 19 至圖 23 為雷射模組 SIL-1000 型號的檢測結果，以上不同雷射模組型號的量測特性分別為，圖 13 是由 CC 直接取得的原始影像。圖 14 及圖 19 是求 FWHM 的結果，圖中以”+”標誌，分別標示出最大亮度及 1/2 最大亮度處，而量測的結果分別顯示在 Table2 及 Table3 中。在圖 15 及圖 20 中的垂直線和水平線分別表示由光束的中心點至邊緣在螢幕上距離，經由這些資料可計算出兩擴束角，其值分別標示在 Table2 及 Table3 中。圖 16 及圖 21 是以螢幕的長、寬當 x、y 座標，影像的亮度當 z 座標所繪出的雷射模組光束三度空間亮度特性分佈曲線圖。17 及圖 22 是雷射模組光束平面亮度分佈圖，其橫軸及縱軸呈現高斯分佈的曲線。最後圖 18 及圖 23 顯示雷射模組光束的穩定性圖，橫軸為時間(單位秒)，縱軸為光束強度。

MODEL NO.	-	SIL-3000	SIL-1000-2C
Wavelength	Nm	635+/-10	635+/-10
Laser Structure	-	Index guide	Index guide
Operating Current	mA	<60	<80
Operating Voltage	VDC	4 - 10 VDC	3 - 10 VDC
Output Power	mW	4.7 ~ 4.9	4.7 ~ 4.9

Laser Optical	-	3 element glass Lens	Plastic Aspheric Lens
Beam Diameter @10m	mm	3 x 4.5 elliptic	5.2 x 8.5 elliptic
Beam Divergence	mrad	0.35 x 0.45	0.2 x 0.4
Outside Dimension	mm	D20 x 50	11.5 x 37

Table 1 photometer 测量雷射模組光束資料表

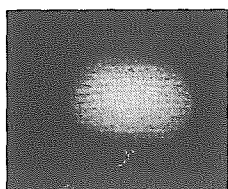


圖 13 原始影像

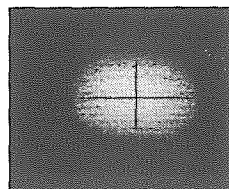


圖 14 FWHM 量測結果

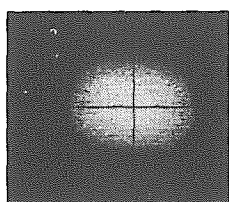


圖 15 擴束角量測結果

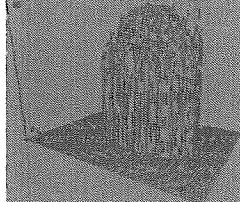


圖 16 亮度特性曲線分佈圖

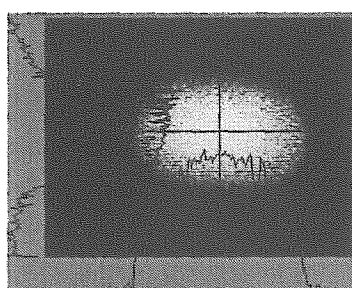


圖 17 雷射模組光束平面亮度分佈圖

Horizontal Beam Diameter(mm)	4.515
Vertical Beam Diameter(mm)	2.97
Horizontal divergence(mrad)	0.386
Vertical divergence(mrad)	0.298
F W H M horizon(mm)	4.08
F W H M vertical(mm)	2.55

Table 2 本系統量測結果資料

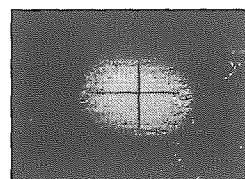


圖 19 FWHM 量測結果

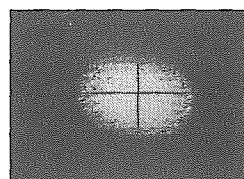


圖 20 擴束角量測結果

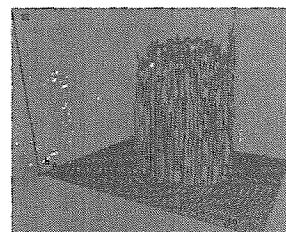


圖 21 亮度特性曲線分佈圖

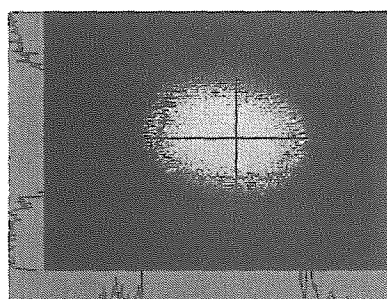


圖 22 雷射模組光束平面亮度分佈圖

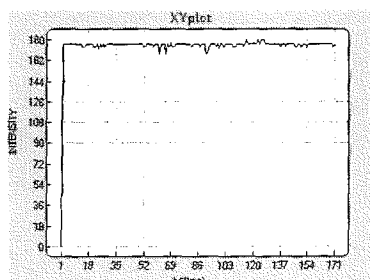


圖 18 穩定度量測

MAX POWER(nW)	127.72
MIN POWER(nW)	9.27
TOTAL POWER(mW)	4.05

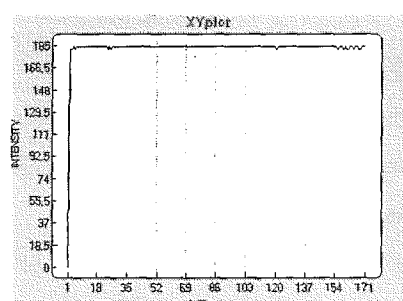


圖 23 穩定度量測

MAX POWER(mW)	133.1
MIN POWER(mW)	7.15
TOTAL POWER(mW)	4.50
Horizontal Beam Diameter(mm)	8.745
Vertical Beam Diameter(mm)	5.335
Horizontal divergence(mrad)	0.3985
Vertical divergence(mrad)	0.2341
FWHM horizon(mm)	4.725
FWHM vertical(mm)	1.53

Table 3 本系統量測結果資料

3. 結論

由於目前量測雷射模組大多是利用 potometer 量測，而利用此量測系統有一缺點，亦即必須利用眼睛直接目視雷射光束，觀察光束是否完全量測到，因此對人眼可能會造成傷害，本研究提出了一組雷射光束特性量測架構，由本系統可以不必直接目視觀測雷射光束，並且在一個流程裏，將所有量測的特性一次量測完畢，且將結果列印。而系統在分割化後在讀取影像資料時，明顯的方便很多。

在雷射光束特性量測方面，我們應用影像處理的方式，來量測 FWHM、亮度分佈曲線、擴束角、功率及穩定度等特性。只要取像方式得當，FWHM 及亮度分佈曲線的測量結果應該不錯，唯有量測擴束角時，CC 至雷射二極體間距離測量上可能會有誤差，故其值亦可能伴隨有誤差的產生。

誌謝

本篇論文經費來源由國科會計畫NSC
88-2516-S-035 -001 所提供。

參考文獻

- [1]. Wen-Hsiang Tsai, "Moment-Preserving Thresholding: A New Approach", Computer Vision, Graphics, and Image Processing 29. pp377-393., 1985 .
- [2]. Chau-Hong Wang and Chern-Sheng Lin, An Automatic Imaging System for Evaluating the Particles on Microstructure Surface, Proceedings of the fifth Conference

of the Chinese Metrology Society, May 4, pp.139-147 , 1996

- [3]. John H. Mathews, "Numerical Methods", United States of America, pp124-133 , 1987
- [4]. Ian Jacques.; Colin Judd , "Numerical Analysis ", Chapman and Hall , pp134-140 , 1987
- [5]. 邱奕契、梁有燈、莊富傑，BGA 視覺檢測技術之研究，第十一屆全國自動化科技研討會，pp.693-700
- [6]. Rong-Seng Chang, Chern-Sheng Lin, "One Line Roundness Measurement with LaserMeter", ISATA Symposium on Automotive Technology and Automation 26th , 1993
- [7]. Chern Sheng Lin and Rong Seng Chang, Digital Image Processing for Evaluating the Characteristics of the Microstructure of a Holographic Plate, Lasers and optics Technology, Vol.29, pp97-102 , 1997
- [8]. Chern Sheng Lin, Evaluation Of Defects On An Optical Disc Master Plate, Optics And Lasers Technology, vol. 29 , pp.425-432 , 1997